

Кулінченко В. Р.

Деменюк О. М.

Національний
університет
харчових
технологій

УДК 534.29

ВПЛИВ УЛЬТРАЗВУКОВОГО ПОЛЯ НА РІСТ ПАРОВОЇ ФАЗИ

Установлена залежність порога роста пузирьков в ультразвуковому поле і их асимптотических размеров от термодинамических свойств жидкости, статического давления и частоты ультразвукового поля.

The dependence of the beads growth barrier in ultrasonic field from their symptom-free size from the liquid thermodynamic properties, static pressure and ultrasonic field frequency was determined.

Кавітація в киплячих рідинах криогенного неорганічного і органічного походження має таку особливість, що її виникнення і подальший розвиток визначається динамікою тільки парової порожнини. Газові включення побічних речовин, які існують в рідинах, не можуть знаходитися в них у помітних кількостях. На сьогоднішній день існує ряд робіт з експериментального і теоретичного дослідження динаміки парових бульбашок в ультразвуковому полі [1].

Виконано аналіз наближених рішень системи рівнянь, які описують поведінку парових порожнин у звуковому полі. Розглядувана система основних рівнянь доповнена і розширенна у порівнянні з такою, запропонованою в роботах [2, 3]. Будемо враховувати неоднорідність температури і тиску всередині бульбашки, а також кінцеве значення швидкості при випаровуванні речовини у вакуум, тобто нерівноважність випаровування рідини. При виведенні системи рівнянь використано уявлення про сферичну симетрію характеру пульсацій бульбашки, нестисливість рідини і малий розмір бульбашки R у порівнянні з довжиною хвилі звуку λ в рідині. У цьому випадку динамічні рівняння будуть такі:

$$p(R, t) = p(\infty, t) + \left(\dot{u}R + 2u\dot{R} - \frac{1}{2}u^2 \right), \quad (1)$$

$$\rho c_p \left[\frac{\partial T}{\partial t} + u(R) \frac{R^2}{r^2} \frac{\partial T}{\partial r} \right] = \frac{1}{r^2} \times$$

— відповідно коефіцієнти теплоємності, тепlopровідності і в'язкості. Рівняння (1) і (2)

необхідно доповнити системою рівнянь, що описують парову фазу, яка в загальному випадку вважається стисливою:

$$\times \frac{\partial}{\partial r} \left(r^2 \nabla \frac{\partial T}{\partial r} \right) + 12\eta u^2(R) \frac{R^4}{r^6}, \quad r > R(t), \quad (2)$$

де $p(R, t)$ і $u(R)$ — тиск і швидкість рідини на поверхні бульбашки, ρ — густина рідини, c_p , κ і η

$$\frac{\partial \rho'}{\partial t} + u' \frac{\partial \rho'}{\partial r} + \frac{1}{r^2} \frac{\partial}{\partial r} (r^2 \rho' u') = 0, \quad (3)$$

$$\frac{\partial u'}{\partial t} + \frac{1}{r^2} \left(\frac{u'^2}{2} \right) + \frac{1}{\rho'} \frac{\partial p'}{\partial r} = 0, \quad (4)$$

$$\rho' c'_p \left[\frac{\partial T'}{\partial t} + u' \frac{\partial T'}{\partial r} \right] = \frac{1}{r^2} \times \\ \times \frac{\partial}{\partial r} \left(r^2 \nabla' \frac{\partial T'}{\partial r} \right) + \alpha' T' \frac{dp'}{dt}, \quad (5)$$

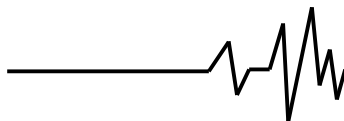
$$\frac{d \rho'}{\rho'} = \beta' dp' - \alpha' dT', \quad (6)$$

$$\text{де } \beta' = \frac{1}{\rho'} \left(\frac{\partial \rho'}{\partial p} \right)_T, \quad \alpha' = \frac{1}{\rho'} \left(\frac{\partial \rho'}{\partial T} \right)_p.$$

Позначення всіх величин тут та сама, що і вище, але з добавкою штриха. Крім наведених рівнянь на границі розділу фаз повинні задовольнятися наступні граничні умови, які витікають із законів збереження маси, енергії і імпульсу.

$$\rho [\dot{R} - u(R)] = \rho' [\dot{R} - u'(R)] = f, \quad (7)$$

$$p'(R, t) - \sigma'_{rr} + j^2 / \rho' = p(R, t) + 2\sigma / R + j^2 / \rho, \quad (8)$$



$$\begin{aligned} jL + j \frac{2\sigma}{\rho R} - j \frac{\sigma'_{rr}}{\rho'} + \frac{j^2}{\rho\rho'\beta'U_e} \\ + \frac{j^3}{2\rho'^2} - \frac{T}{R^2} \frac{d}{dT} \left(R^2 \frac{d\sigma}{dT} \right) = \\ = \aleph \left(\frac{\partial T}{\partial r} \right)_R - \aleph' \left(\frac{\partial T'}{\partial r} \right)_R, \end{aligned} \quad (9)$$

де $j = (4\pi R^2)^{-1} dM'/dt$ – потік маси пари

$$M', \sigma_{rr} = \left(\frac{4}{3} \eta + \xi \right) \frac{\partial u}{\partial r} + \frac{2u}{r} \left(\xi - \frac{2}{3} \eta \right) - \text{тензор}$$

в'язких напруг, L – теплота пароутворення, σ – коефіцієнт поверхневого натягу. Швидкість випаровування речовини у вакумі U_e вважається кінцевою величиною і для ідеального газу виражається через коефіцієнт акомодації $\tilde{\alpha}$ і визначається залежністю

$$U_e = \tilde{\alpha} \sqrt{p'(R,t)/(2\pi\rho')}. \quad (10)$$

У наближенні слабкої нерівноважності випаровування рідини всередину бульбашки вважається, що

$$T'[r=R(t), t] \approx T[r=R(t), t], \quad (11)$$

$$j = \beta' \rho' U_e [p'_\sigma(T) - p'(\rho', T')], \quad (12)$$

де $p_\sigma'(T)$ – тиск насиченої пари, який зв'язаний з температурою рівнянням Клапейрона-Клаузіуса. При малих радіусах зародків бульбашок тиск p_σ' повинен враховувати поправку на кривизну поверхні розділу фаз.

Дію звуку на бульбашку можна описати рівнянням:

$$p(\infty, t) = p'_\sigma(T_0) + \Delta p + p_m \cos \omega t, \quad (13)$$

де T_0 – температура рідини на безмежності, Δp – статистичний тиск, що вводиться для виключення паразитного кипіння рідини при відсутності звукового тиску p_r .

Далі розв'язуємо систему рівнянь за допомогою теорії збурень. Лінійний розв'язок рівняння має вигляд:

$$R(t) = \bar{R}(t) + R_1(t) \exp(-i\omega t), \quad (14)$$

де амплітуда коливань радіуса R , вважається малою у порівнянні з середнім радіусом \bar{R} , а період зміни середніх розмірів великий у порівнянні з періодом звукової хвилі $2\pi/\omega$. Аналогічні вирази можна отримати і для інших невідомих величин:

$$M'(T) = \bar{R}(t) + M'_1(t) \exp(-i\omega t),$$

$$T(r, t) = \bar{T}(T) + T_1(r, t) \exp(-i\omega t), \dots$$

Лінійний вираз для амплітуди коливань радіуса R_1 не залежить від часу і виражається через величини K і q :

$$R_1 = p_m \frac{\bar{R}K}{3q}, \quad (15)$$

де коефіцієнт K має фізичний зміст власного стискання парової бульбашки

$$K = -\frac{1}{V'} \frac{\partial V'}{\partial p'} = -\frac{3}{R} \frac{\delta R}{\delta p'}. \quad \text{На відміну від}$$

адіабатної стисливості $K = 1/(\rho'c'^2)$ газової бульбашки чи її ізотермічної стисливості $K = \gamma'/(p'c'^2)$ стисливість парової бульбашки враховує масообмін і має досить складний вигляд:

$$\begin{aligned} K = & \frac{3\rho c_p}{2\rho'L} \left(\frac{\partial T}{\partial p} \right)_\sigma \frac{1-i\omega\tau_1}{1-i\omega\tau_2} \frac{\sqrt{2D/\omega}}{\bar{R}} \times \\ & \times \left(1+i+i \frac{\sqrt{2D/\omega}}{\bar{R}} \right) - \left(1-\nu'_1 - i\omega \frac{\alpha'\bar{T}'D'}{L} \times \right. \\ & \times \left. \frac{1-i\omega\tau_1}{1-i\omega\tau_2} \right) \left(\frac{1}{2} + B_\sigma \right) \frac{3c'_p f(k'_1 \bar{R})}{\alpha'\bar{T}'\omega^2 \bar{R}^2} \left(\frac{\partial T}{\partial p} \right)_\sigma - \\ & - \left(1-\nu'_2 - i\omega \frac{\alpha'\bar{T}'D'}{L} \times \frac{1-i\omega\tau_1}{1-i\omega\tau_2} \right) \left(\frac{1}{2} + B_\sigma \right) \times \\ & \times \frac{3c'_p f(k'_2 \bar{R})}{\alpha'\bar{T}'\omega^2 \bar{R}^2} \left(\frac{\partial T}{\partial p} \right)_\sigma. \end{aligned} \quad (16)$$

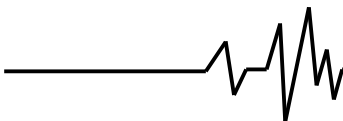
У цьому рівнянні D і D' коефіцієнти температуропровідності рідини і пари, а $c_\sigma' = T'(ds'/dT)_\sigma$ – теплоємність пари, де знаком σ позначається, що похідна ds'/dT взята вздовж кривої фазової рівноваги. Безрозмірні числа $\nu'_1 = D' K_1'^2 / i\omega$ і $\nu'_2 = D' K_2'^2 / i\omega$ зв'язані з хвильовими числами звукових і теплових хвиль залежностями:

$$\begin{aligned} k'_1 & \cong \frac{\omega}{c'} \left[1+i \frac{\omega}{2\rho'c'^2} \left(\frac{4}{3} \eta' + \xi' + \frac{\aleph'}{c'_v} - \frac{\aleph'}{c'_p} \right) \right], \\ k'_2 & \cong \frac{1+i}{\sqrt{2D'/\omega}} \left[1+i \frac{\omega}{2\rho'c'^2} (\gamma' - 1) \times \right. \\ & \times \left. \left(\frac{4}{3} \eta' + \xi' - \frac{\aleph'}{c'_p} \right) \right], \end{aligned} \quad (17)$$

за допомогою цих чисел визначається коефіцієнт B_σ :

$$B_\sigma = \frac{\frac{\nu'_1 + \nu'_2}{2} - \frac{c'_\sigma}{c'_p}}{\nu'_2 + \nu'_1}.$$

Урахування нерівноважності фазового переходу виконується за допомогою



релаксаційних множників типу (1–іωт), у яких час релаксації τ_1 і τ_2 становить:

$$\begin{aligned}\tau_1 &\approx -\frac{\bar{R}}{U_e} \frac{c'_p - c'_v}{c'_p - c'_\sigma} \frac{f(k'_2 \bar{R})}{k'_2 \bar{R}}, \\ \tau_2 &\approx \frac{\bar{R}}{U_e} \left(\frac{\partial T}{\partial p} \right)_\sigma \left[\frac{\rho c_p}{2\rho' \beta' L} \frac{\sqrt{2D/\omega}}{\bar{R}} \times \right. \\ &\times \left. \left(1 + i + i \frac{\sqrt{2D/\omega}}{\bar{R}} \right) - \frac{c'_p}{\beta' L} \frac{f(k'_2 \bar{R})}{(k'_2 \bar{R})^2} \right].\end{aligned}\quad (18)$$

Слід зауважити, що за умови

$$\omega \ll \min \left(\frac{1}{\tau_1}, \frac{1}{\tau_2} \right)$$

релаксаційними множниками можна нехтувати і процес масообміну вважати квазірівноважним. Це відповідає нескінченно великій швидкості випаровування речовини у вакуумі U_v , і з рівняння (12) виходить, що у цьому разі тиск пари на границі розділу фаз рівний відповідному тиску насиченої пари. Випадок $|i\omega| \gg 1$ відповідає відсутності перенесення маси ($U_v \rightarrow 0$), і вираз (16) формально переходить у вираз для стисливості газової бульбашки з урахуванням теплообміну.

Стосовно множника q у формулі (15), то він ураховує резонансні властивості парової бульбашки і має вид:

$$\begin{aligned}q = 1 + \frac{\rho' c'_p}{\alpha' T'} \left(\frac{\partial T}{\partial p} \right)_\sigma \tilde{u} - \left(\frac{2\sigma}{\bar{R}} + 4i\omega\eta + \right. \\ \left. + \frac{\rho\omega^2 \bar{R}^2}{1 - ik_1 R} \right) \frac{K}{3},\end{aligned}\quad (19)$$

$$\tilde{u} = (1 - \nu'_1) \left(\frac{1}{2} + B_\sigma \right) f(k'_1 \bar{R}) +$$

$$+ (1 - \nu'_2) \left(\frac{1}{2} + B_\sigma \right) f(k'_2 \bar{R}).$$

де

Цей співмножник показує, наскільки амплітуда змінного тиску всередині бульбашки відрізняється від амплітуди сили, що призводить до цього, викликаної змінним тиском на відстані від бульбашки, тобто $q = p_m / [p_1'(R)]$.

На рис.1 наведена функція відгуку $|R|/R|p_m$ від радіусу парових бульбашок на різних частотах у воді при $T_0 = 150^\circ\text{C}$. З графіка видно, що добротність парової бульбашки сильно залежить від її розміру. Добротність великих бульбашок велика, і їх резонансна частота наближається до власної частоти адіабатної газової бульбашки. При зменшенні

радіуса резонансна частота зростає, а добротність зменшується. При меншому розмірі бульбашки її добротність стає меншою за одиницю і екстремум функції відгуку, пов'язаний з резонансом, зникає.

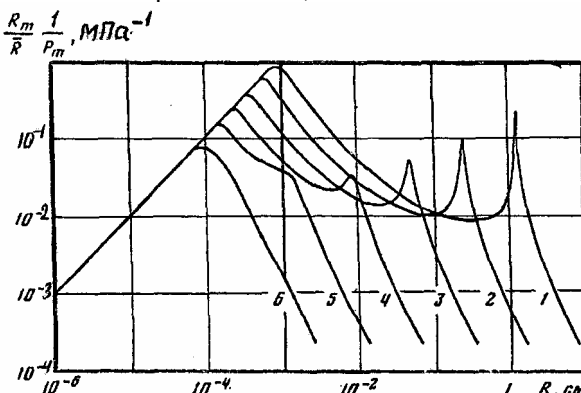


Рис. 1. Залежність функції відгуку від радіусу парових бульбашок при різних частотах: 1–400 Гц, 2–2 кГц, 3–10 кГц, 4–50 кГц, 5–250 кГц, 6–1,25 МГц

На рис.1 звертає на себе увагу пологий екстремум функції відгуку при маленьких розмірах бульбашок. Цей екстремум пов'язаний з впливом поверхневого натягу, а можливість його існування при певних умовах для газових бульбашок наведена в ряді робіт. Для маленьких бульбашок функція відгуку має один екстремум, пов'язаний з впливом поверхневого натягу (криві 5 і 6).

На підставі аналізу функції відгуку отримано криві залежності резонансної частоти парової бульбашки від її радіуса. На рис.2 наведені графіки резонансних частот парових бульбашок у воді у залежності від її температури і розміру бульбашок.

Ліворуч від меж кривих знаходяться зони зникнення резонансного екстремуму функції відгуку. Це відбувається з причини зменшення добротності парових бульбашок.

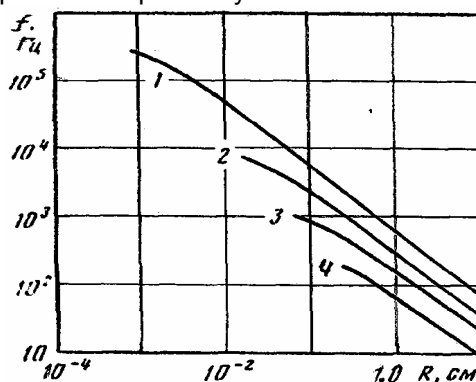
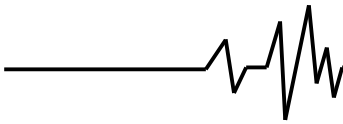


Рис. 2. Залежність резонансної частоти від радіуса парової водяної бульбашки при температурах, °С: 1–150, 2–100, 3–80, 4–60



Відомо [2, 3], що дія ультразвуку на парову бульбашку призводить до коливань її радіуса і до зміни його середнього розміру. Для знаходження швидкості росту середнього радіуса бульбашок у системі рівнянь необхідно врахувати члени, квадратичні для поля осереднення.

Урахування нерівноважності процесів випаровування і конденсації, а також в'язкості рідини і її пари суттєво змінює вид власного стискання парової бульбашки К і резонансного співмножника q у порівнянні з роботою [2], а також добавляє доданки до виразу для швидкості зміни середнього радіуса, отримане в [3].

Приведемо, аналогічний отриманому в [3], вираз для швидкості зміни середнього радіуса в кінцевому вигляді:

$$\frac{dR}{dt} = \frac{\bar{N}}{\tilde{\rho}' L \bar{R}} \left[\frac{p_m^2}{|q|^2} \sum_{i=1}^8 A_i(\bar{R}, \omega) - \left(\Delta p + \frac{2\sigma}{\bar{R}} \right) \left(\frac{\partial T}{\partial p} \right)_\sigma \right], \quad (20)$$

де

$$A_1 = \frac{2}{3} \left(\frac{\partial T}{\partial p} \right)_\sigma [(1 - 3 \operatorname{Re} F_5) \operatorname{Re} K - 3 \operatorname{Im} F_5 \operatorname{Im} K],$$

$$A_2 = -\frac{1}{4\bar{N}} \frac{dT}{dT} \left(\frac{\partial T}{\partial p} \right)_\sigma^2, \quad A_3 = \frac{1}{4} \left(\frac{\partial^2 T}{\partial p^2} \right)_\sigma,$$

$$A_4 = \frac{\rho' c'_\sigma}{3\rho c_p} \left(\frac{\partial T}{\partial p} \right)_\sigma \left(\frac{\bar{R}}{\sqrt{2D/\omega}} \right)^2 \operatorname{Im} K,$$

$$A_5 = \frac{\rho'}{3\rho c_p} \frac{\partial L}{\partial T} \left(\frac{\partial T}{\partial p} \right)_\sigma \left(\frac{\bar{R}}{\sqrt{2D/\omega}} \right)^2 \operatorname{Im} K,$$

$$A_6 = \frac{\rho'}{3\rho} \left(\frac{\partial T}{\partial p} \right)_\sigma \left(\frac{\bar{R}}{\sqrt{2D/\omega}} \right)^2 [(1 - \operatorname{Re} F_3) \times$$

$$\times \operatorname{Im} K + \operatorname{Im} F_3 \operatorname{Re} K - \frac{1}{\rho'} \left(\frac{\partial p'}{\partial p} \right)_\sigma],$$

$$A_7 = \frac{\rho \omega^2 \bar{R}^2}{36} \left(\frac{\partial T}{\partial p} \right)_\sigma |K|^2,$$

$$A_8 = \frac{\eta \omega}{3\rho c_p} \left(\frac{\bar{R}}{\sqrt{2D/\omega}} \right)^2 |K|^2.$$

Функції F_3 і F_5 виражаються через інтеграл

$$F_n(x) = \int_0^\infty \frac{dt}{(1+t)^n} \exp[(i-1)xt],$$

де $x = \bar{R} \sqrt{\omega/(2D)}$ при $n = 3$ і 5 відповідно.

Фізичний зміст більшості доданків наведені в [3], доданок A_8 виникає, якщо враховувати вплив в'язкості рідини, що викликає виникнення додаткового джерела тепла біля бульбашки і додатковому надходженню теплоти у бульбашку.

Певний інтерес представляє стаціонарний режим коливання парової порожнини, при якому середній радіус бульбашки не змінюється. Формально цей режим витікає з умови $\dot{\bar{R}} = 0$. З рівняння (20) можна отримати граничну величину амплітуди звукового тиску p_t^* , яка відповідає умові $\dot{\bar{R}} = 0$:

$$(p_t^*)^2 = \left(\frac{\partial T}{\partial p} \right)_\sigma \frac{|q|^2 (\Delta p + 2\sigma / \dot{\bar{R}})}{\sum_{i=1}^8 A_i(\bar{R}, \omega)}. \quad (21)$$

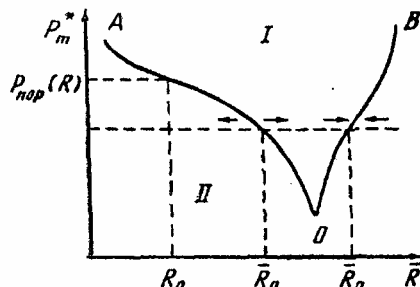
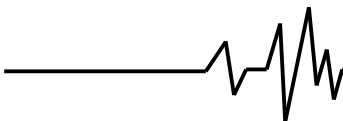


Рис. 3. Загальний вигляд залежності границі росту парових бульбашок від радіуса зародка при певній частоті акустичного поля

Якісний характер залежності p_t^* від при певній частоті звукового поля наведено на рис.3. Крива $p_t^*(R)$, отримана за умови стаціонарності, ділить площину (p_t, R) на дві області: I – область росту парових бульбашок і II – область конденсації бульбашок. Для бульбашок довільного радіуса R_0 можна визначити єдину величину порогу амплітуди звуку $p_{pop}(R_0)$ при перевищенні якого бульбашка починає свій ріст. У той же час при заданій амплітуді звуку p_t^* існує два кореня рівняння (21): R_{l0} і R_{l0} . У цьому випадку можна визначити як мінімальний розмір бульбашки R_0 , починаючи з якого бульбашка зростає, так і максимальний радіус порожнини, більш якої бульбашка вирости не спроможна. Таким чином, крива стаціонарного рішення на площині (p_t, R) має дві гілки: АО – нестійку гілку і ОВ –



стійку. Якщо бульбашка знаходиться на кривій АО, то при незначному збільшенні радіусу бульбашки вона чи зростає, чи захлопується. Цю гілку можна назвати графіком порогу спрямленої теплопередачі. Стійку гілку ОВ – графіком асимптотичних радіусів парових включень. Характер отриманого рішення погоджується з наслідками числового розрахунку виходу парових бульбашок на асимптоту, наведених у [4]. Якщо розмір парових бульбашок співпадає з резонансним радіусом парових включень, то рідинна має мінімальну величину порогу росту бульбашок – точка О.

На рис.4 наведений графік залежності порогу зростання парових бульбашок у воді при температурі 150 °C при нульовому звуковому тиску і при різночастотному акустичному тиску. Ліворуч графік обривається на границі застосування теорії подразнень, а умова збудження радіальних мод коливань більших порядків накладає обмеження на хід кривих справа. На цьому ж рисунку штриховою лінією нанесена міцність рідини з паровими зародками яка розраховується по загальновідомій формулі

$$p = \Delta p + \frac{2\sigma}{R}, \quad (22)$$

у якій парціальний тиск газів всередині бульбашки вважається рівним нулю, а враховується тільки тиск пари.

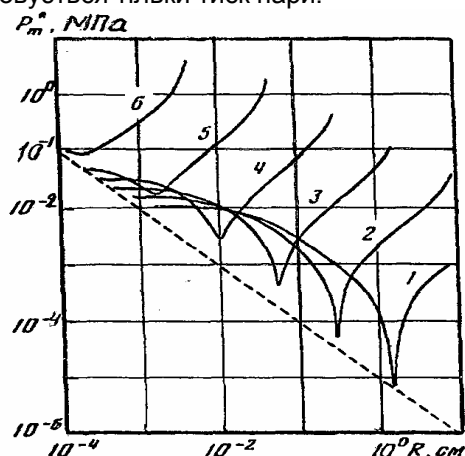


Рис. 4. Залежність порогу росту парових бульбашок у воді при температурі 150 °C від розміру парового зародку і частоти ультразвуку: 1–400 Гц, 2–2кГц, 3–10кГц, 4–50 кГц, 5–250кГц, 6–1,25МГц

З графіка видно, що за нульового звукового тиску динамічні пороги росту парових включень лежать вище статичних порогів, визначених за (22). Також проявляється вплив резонансних властивостей парових бульбашок на пороги їх росту.

$P_m^*, \text{ МПа}$

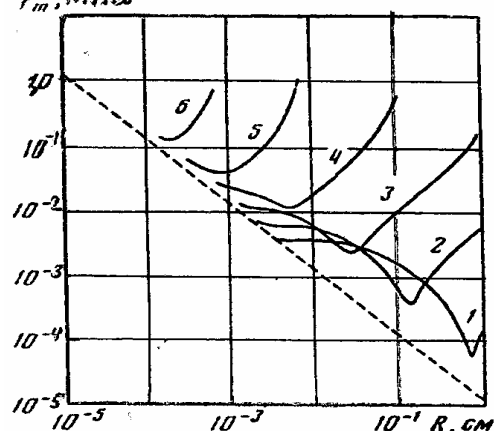


Рис. 5. Залежність порогу росту бульбашок у воді при атмосферному тиску і $T_0=100$ °C, від розміру парового зародка і частоти ультразвуку

На рис.5 наведені для порівняння пороги росту бульбашок у воді, яка кипить при атмосферному тиску.

Термодинамічні властивості рідин сильно впливають на їх міцність. На рис.6 і 7 [5] наведені пороги росту бульбашок у рідкому водні при температурі $T_0=27$ K, $\Delta p=0$ і в рідкому азоті при $T_0=77,35$ K, $\Delta p=0$. Позначення на рис.6 і 7 ті самі, що і на рис.4, при цьому крива 7 відповідає частоті $f=6,25$ МГц. З наведених графіків видно, що пороги росту бульбашок у криогенних рідинах значно нижчі, ніж у воді. Це обумовлено більш низьким значенням величини коефіцієнта поверхневого натягу, а також більш високою добробутністю дрібних кулястих бульбашок у криогенних рідинах.

$P_m^*, \text{ МПа}$

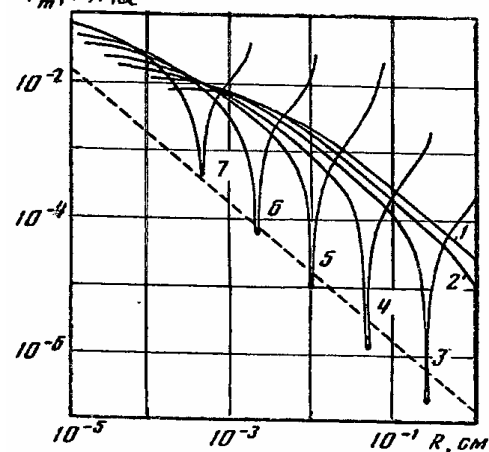


Рис. 6. Пороги росту бульбашок у рідкому водні при нульовому озвучуванні

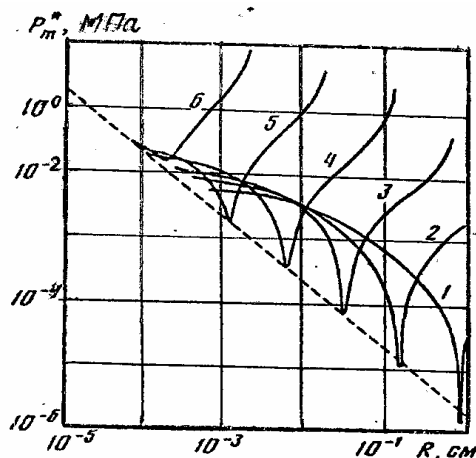
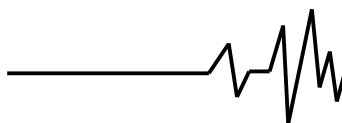


Рис. 7. Пороги росту бульбашок у рідкому азоті при нульовому озвучуванні

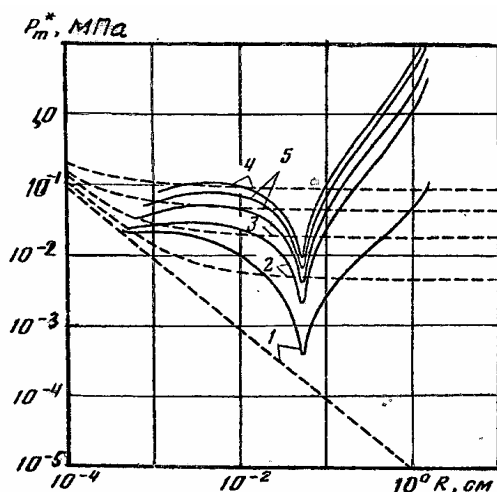


Рис. 8. Вплив звукового тиску на пороги росту бульбашок у воді при $T_0=150$ °С.
Звуковий тиск, кПа: 1–0; 2–5; 3–20; 4–50;
5–100. Частота 10 кГц

На рис.8 наведені пороги росту бульбашок у воді при $T_0=150$ °С і частоті 10 кГц при різних звукових тисках. Штриховими лініями показана міцність води розрахована за (22). З рисунка видно, що у достатньо великих межах резонансу пороги росту в воді і інших рідинах, значно менші статичного порогу міцності (22). Інший практичний висновок можна зробити з аналізу впливу статичного тиску Δp на поріг росту рідини з паровими зародками, розмір яких перевищує резонансний. У цьому випадку підвищення Δp чи те саме, що підвищення статичного тиску приводить до зменшення порогу росту бульбашок. Це зв'язано з тим, що зменшення зародку наближає його до резонансу на даній частоті і веде до зменшення порогу.

Висновок

Урахування тепло- і масообміну парових бульбашок з оточуючою рідиною, а також урахування резонансних властивостей бульбашок суттєво змінюють уявлення про міцність з паровими зародками.

Література

1. Акуличев В.А. Ультразвуковые пузырьковые камеры. Физика элементарных частиц и атомного ядра, 1977, 8, №3.– С.580-630.
2. Алексеев В.Н. Стационарное поведение парового пузырька в ультразвуковом поле. Акуст. ж., 1975, 21, №4.– С. 497-501.
3. Алексеев В.Н. Нестационарное поведение парового пузырька в ультразвуковом поле. Акуст. ж., 1976, 22, №2.– С. 185-191.
4. Акуличев В.А. Паровой пузырек в ультразвуковом поле. Акуст. ж., 1979, 25, №6.– С. 801-809.